

Wydział: Fizyki i Informatyki Stosowanej

Kierunek: Informatyka Stosowana

Rok: 2020/21

Semestr: letni

Typ: stacjonarne

Nr albumu: 401984

Data: 31.05.2021



Sprawozdanie - Laboratorium nr 13
Całkowanie numeryczne przy użyciu kwadratur Gaussa

Spis treści

1	Wstęp teoretyczny	2
1.1	Kwadratury Gaussa	2
1.2	Kwadratura Gaussa-Laguerre'a	3
1.3	Kwadratury Gaussa-Hermite'a	3
2	Zadanie do wykonania	4
3	Wyniki	5
4	Podsumowanie	9
5	Literatura	9

opracował:

Tomasz Szkaradek

1 Wstęp teoretyczny

1.1 Kwadratury Gaussa

Rozpatrujemy kwadratury typu:

$$S(f) = \sum_{k=0}^N A_k f(x_k), \quad (1)$$

których współczynniki kwadratury z wagą $p(x)$ mają postać:

$$A_k = \int_a^b p(x) \Phi_k(x) dx, \quad (2)$$

gdzie waga $p(x)$ jest ustalona, a liczba węzłów wynosi $N + 1$. Szukamy położenia węzłów oraz współczynników A_k , tak aby rząd kwadratury był jak najwyższy. Taka kwadratura zwana jest kwadraturą Gaussa.

Do wyznaczania kwadratur używa się wielomianów ortogonalnych tzn. takich, że dla ciągu wielomianów:

$$\{\varphi(x)\} = \{\varphi_0(x), \varphi_1(x), \dots, \varphi_N(x)\}, \quad (3)$$

w przedziale $[a, b]$ zachodzi pomiędzy nimi związek:

$$(\varphi_s, \varphi_s) = \int_a^b p(x) \varphi_r(x) \varphi_s(x) dx = 0, \quad r \neq s \quad (4)$$

Dla kwadratur Gaussa można wyróżnić 3 podstawowe twierdzenia:

1. Wielomiany ortogonalne mają tylko pierwiastki rzeczywiste, leżące w przedziale $[a, b]$.
2. Nie istnieje kwadratura Gaussa rzędu wyższego niż $2(N + 1)$. Kwadratura Gaussa jest rzędu $2(N + 1)$ wtedy i tylko wtedy, gdy węzły x_k są pierwiastkami wielomianu $P_{n+1}(x)$.
3. Wszystkie współczynniki A_k w kwadraturach Gaussa są dodatnie.

Wysoki rząd $(2N + 2)$ jest spowodowany koniecznością ustalenia położenia $N + 1$ współczynników kombinacji liniowej $N + 1$ wielomianów. Metoda Gaussa jest zbieżna do każdej funkcji ciągłej w $[a, b]$ Następnie korzystamy z tożsamości Christoffela-Darboux:

$$\sum_{k=0}^n \frac{\varphi_k(x) \varphi_k(y)}{\gamma_k} = \frac{\varphi_{n+1}(x) \varphi_n(y) - \varphi_n(x) \varphi_{n+1}(y)}{\alpha_n \gamma_n(x - y)}, \quad (5)$$

gdzie:

$$\alpha_k = \frac{\beta_{k+1}}{\beta_k}, \quad \gamma_k = \int_a^b p(x) \varphi_k^2(x) dx \quad (6)$$

oraz β_k jest współczynnikiem stojącym w wielomianie φ_k przy zmiennej w najwyższej potęgze. Za y podstawiono pierwiastek wielomianu b -tego stopnia - $y = d_j$ i otrzymano:

$$\sum_{k=0}^n \frac{\varphi_k(x) \varphi_k(d_j)}{\gamma_k} = -\frac{\varphi_n(x) \varphi_{n+1}(d_j)}{\alpha_n \gamma_n(x - d_j)}, \quad (7)$$

a następnie wykonano mnożenie i całkowanie $\int dx p(x) \varphi_0(x)$, co daje:

$$\frac{\varphi_0(d_j)}{\gamma_0} \gamma_0 = -\frac{\varphi_{n+1}(d_j)}{\alpha_n \gamma_n} \int_a^b p(x) \frac{\varphi_0(x) \varphi_n(x)}{x - d_j} dx. \quad (8)$$

Następnie korzystając z następującej definicji wielomianu interpolacyjnego Lagrange'a:

$$f(x) = \sum_{j=0}^n f(x_j) l_j(x) \quad l_j(x) = \frac{\omega_n(x)}{(x - a_j) \omega'_n(a_j)}, \quad (9)$$

oraz wybranego przez nasz przypadku, że $\omega_n(x) = \varphi_n(x)$, korzystamy z faktu, że $\varphi_0(x) = 1$ i po przekształceniach otrzymujemy współczynnik A_k :

$$A_k = -\frac{2}{(N+1)P_{N+2}(x_k)P'_{N+1}(x_k)} \quad (10)$$

1.2 Kwadratura Gaussa-Laguerre'a

W analiza numeryczna Kwadratura Gaussa – Laguerre'a (nazwany po Carl Friedrich Gauss i Edmond Laguerre) jest rozszerzeniem Kwadratura Gaussa metoda aproksymacji wartości całek typu:

$$\int_0^{+\infty} e^{-x} f(x) dx \quad (11)$$

$$\int_0^{+\infty} e^{-x} f(x) dx \approx \sum_{i=0}^n w_i(x_i) \quad (12)$$

gdzie x_i to i-ty pierwiastek Wielomian Laguerre'a $L_n(x)$ z wagą w_i przedział całkowania to $(-\infty, \infty)$, a funkcja wagowa jest postaci $p(x) = e^{-x^2}$.

1.3 Kwadratury Gaussa-Hermite'a

Kwadratury Gaussa-Hermite'a to specjalne przypadki kwadratur Gaussa gdzie przedział całkowania to $(-\infty, \infty)$, a funkcja wagowa jest postaci $p(x) = e^{-x^2}$. Wówczas ciąg wielomianów ortogonalnych stanowią wielomiany Hermite'a:

$$H_n(x) = (-1)^n e^{x^2} \frac{d^n}{dx^n} e^{-x^2}, \quad (13)$$

dla których obowiązuje relacja rekurencyjna:

$$H_{n+1} = 2xH_n - 2nH_{n-1}. \quad (14)$$

2 Zadanie do wykonania

Zadaniem w trakcie laboratoriów było numeryczne wyznaczenie wartości całek:
Pierwszą z nich musieliśmy obliczyć numerycznie przy użyciu kwadratury Gaussa-Legendre'a:

$$c_1 = \int_0^2 \frac{x}{4x^2 + 1} dx \quad (15)$$

przy pomocy funkcji Pythona z biblioteki numpy

```
import numpy as np
def calka_leandre(fun, a, b, n):
    x, w = np.polynomial.legendre.leggauss(n)
```

wyznaczamy zera wielomianu Legendre'a oraz jego współczynniki a następnie obliczamy wartość całki po wcześniejszym przeskalowaniu wektora x i w
(domyślnie funkcja np.polynomial.legendre.leggauss(n) przyjmuje zakres [-1,1])

$$c_1 = \sum_{i=0}^n w_i * f(x_i) \quad (16)$$

Kolejno obliczamy wartość dokładną naszej całki korzystając z rozwiązania analitycznego

$$c_{1,a} = \int_0^2 \frac{x}{a^2 x^2 + c^2} dx = \frac{1}{2a^2} \ln|a^2 x^2 + c^2| \quad (17)$$

Na sam koniec prac związanych z pierwszą całką rysujemy wykres:

- całkowanej funkcji
- $|c_1 - c_{1,a}| = f(n)$ dla węzłów $n = 2, \dots, 30$

Następna całkę liczymy numerycznie przy użyciu kwadratury Gaussa-Laguerre'a dla k=5 a następnie dla k=10:

$$c_2 = \int_0^\infty x^k \exp(-x) dx \quad (18)$$

przy pomocy funkcji Pythona z biblioteki numpy

```
import numpy as np
```

```
x, w = np.polynomial.laguerre.laggauss(n)
```

wyznaczamy zera wielomianu Laguerre'a oraz jego współczynniki a następnie obliczamy wartość całki

$$c_2 = \sum_{i=0}^n w_i * f(x_i) \quad (19)$$

Kolejno obliczamy wartość dokładną naszej całki korzystając z rozwiązania analitycznego

$$c_{2,a} = \int_0^\infty x^k \exp(-x) dx = k! \quad (20)$$

Na sam koniec prac rysujemy wykres:

- całkowanej funkcji
- $|c_2 - c_{2,a}| = f(n)$ dla węzłów $n = 2, \dots, 30$

Ostatnią całkę liczymy numerycznie przy użyciu kwadratury Gaussa-Hermite'a:

$$c_3 = \int_0^\infty x^k \exp(-x) dx \quad (21)$$

przy pomocy funkcji Pythona z biblioteki numpy

```
import numpy as np
```

```
x, w = np.polynomial.hermite.hermgauss(n)
```

wyznaczamy zera wielomianu Hermite'a oraz jego współczynniki a następnie obliczamy wartość całki

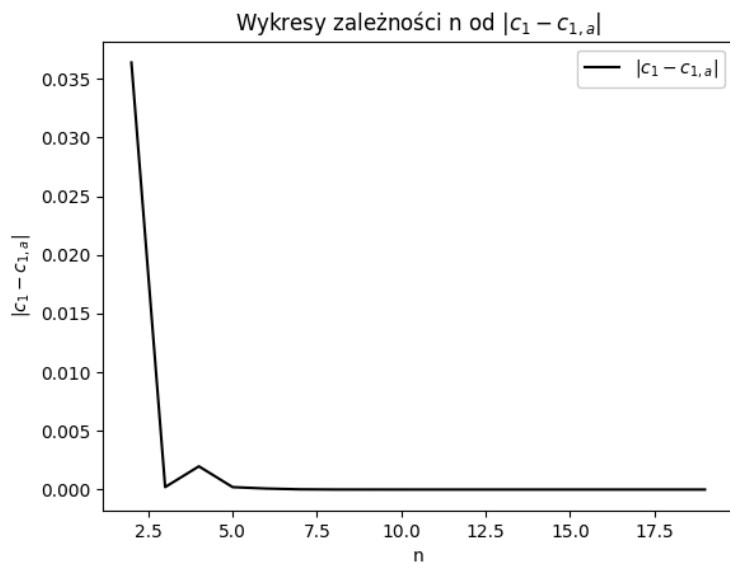
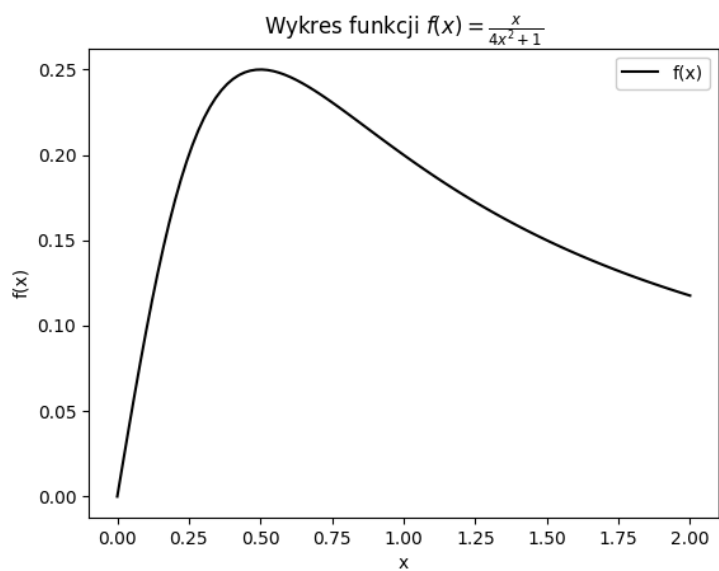
$$c_3 = \int_{-\infty}^{\infty} \int_{-\infty}^{\infty} \sin^2(x) \sin^4(y) \exp(-x^2 - y^2) dx dy \quad (22)$$

W tym przypadku za wartość dokładną przyjmujemy liczbę $c_{dok} = 0.1919832644$ Na sam koniec prac rysujemy wykres:

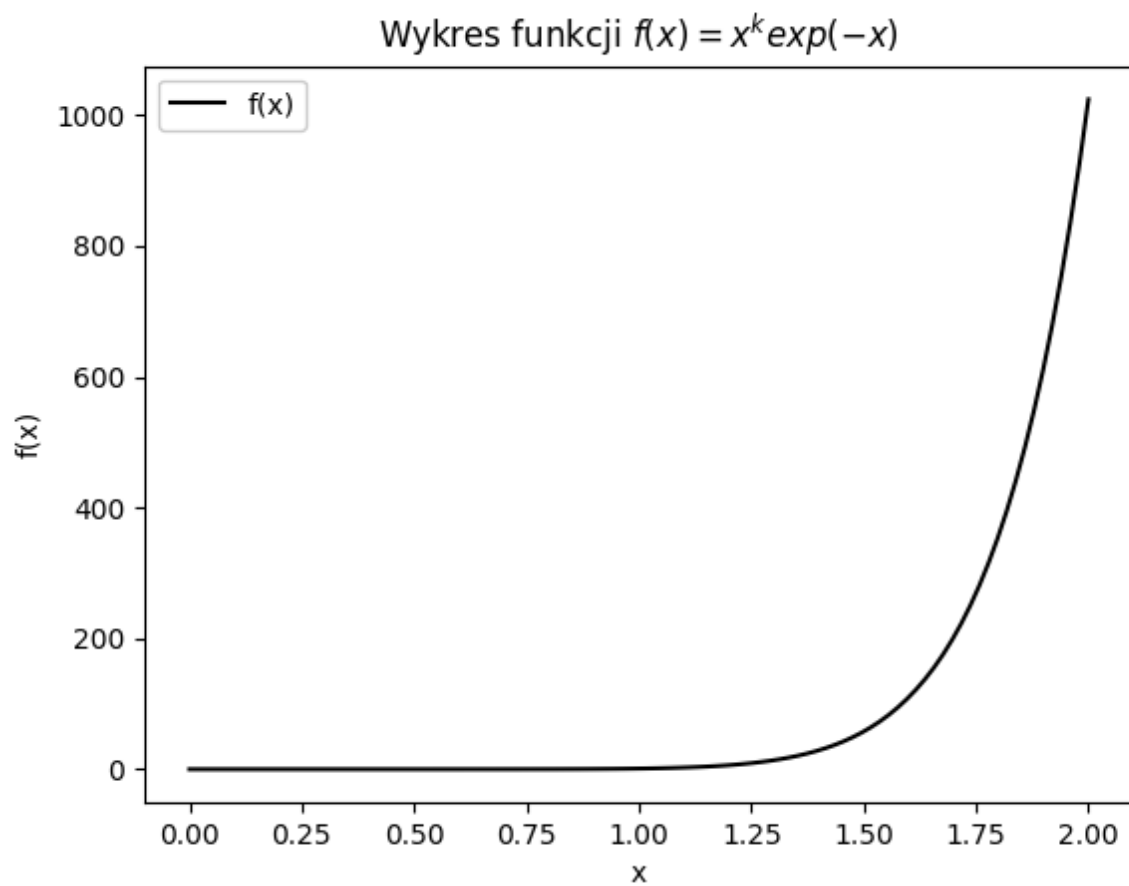
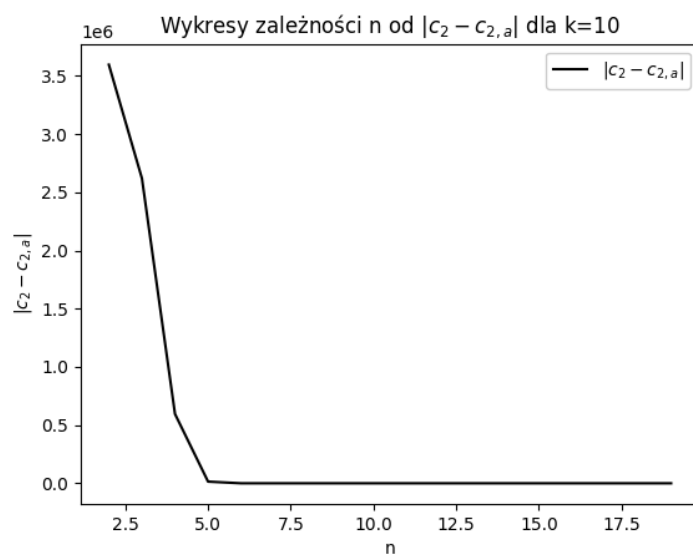
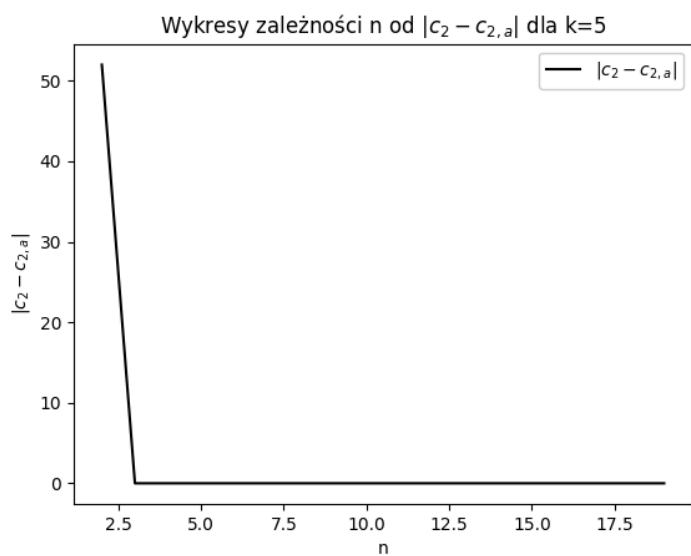
- całkowanej funkcji
- $|c_3 - c_{dok}| = f(n)$ dla węzłów $n = 2, \dots, 30$

3 Wyniki

Cały program został napisany w języku Python. Umieściliśmy obliczone dane na poniższych wykresach na których widzimy dokładność całki oraz wykres funkcji całkowanej.

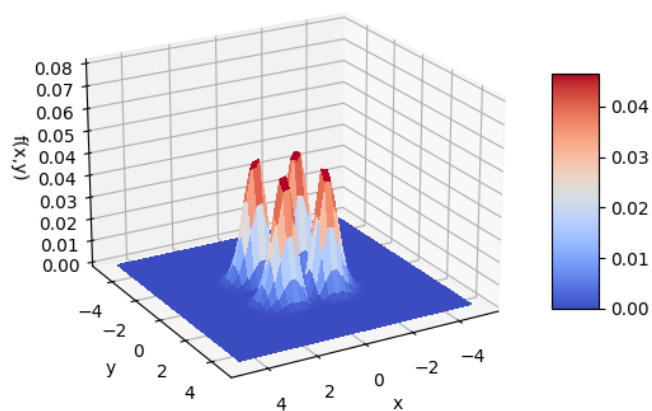


Rysunek 1: Wykres funkcji(lewo) oraz jej dokładności(prawo) dla całki z funkcji $\frac{x}{4x^2 + 1}$

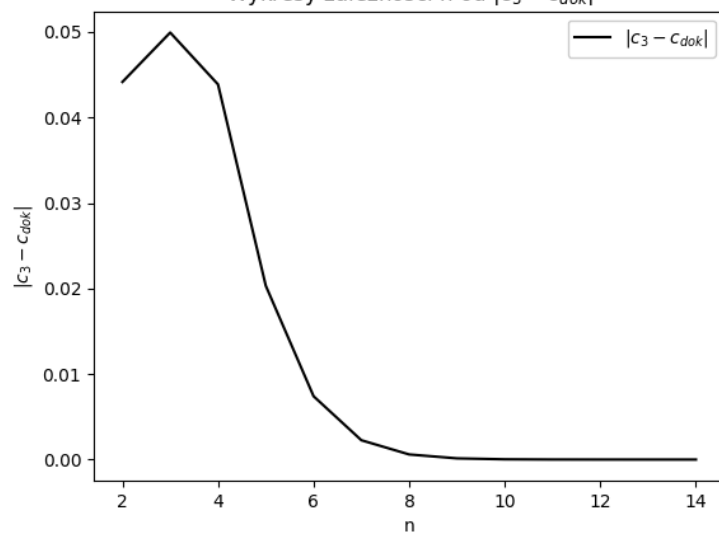


Rysunek 2: Wykres funkcji(środek) oraz jej dokładności(prawo $k=5$, lewo $k=10$) dla całki z funkcji $x^k \exp(-x)$

Wykres funkcji $f(x, y) = \sin^2(x)\cos^4(x)\exp(-x^2 - y^2)$



Wykresy zależności n od $|c_3 - c_{dok}|$



Rysunek 3: Wykres funkcji (lewo) oraz jej dokładności (prawo) dla całki z funkcji $\sin^2(x)\sin^4(y)\exp(-x^2 - y^2)$

4 Podsumowanie

Podsumowując można powiedzieć że wykorzystanie kwadratur Gaussa pozwala nam na dokładne wyznaczenie wartości podanej całki a dokładność zależy od liczby węzłów.

Każda z wersji, niezależnie od n , zmierzała do błędu względnego całkowania równego 0. Ilość węzłów miała znaczący wpływ na początkowe wartości błędu przy małych n .

Dokładność obliczonej całki bardzo szybko wzrasta możemy to zauważyć na przykładnie z Rysunek 1 oraz 2 na którym widzimy, że już dla 5 węzłów dokładność jest rzędu 6 znaków po przecinku.

Dla przykładu 2 ($k=5$) wystarczy niespełna 3 węzły aby moduł spadł z ≈ 100 do 0. Podobne zjawisko wystąpiło w drugim przypadku.

Na podstawie wykresów widzimy, że metoda Legendre'a szybciej niż metoda Laguerre'a zbiega do dokładnej wartości.

Dla przykładu 3 z całką podwójną widzimy iż dokładność uzyskujemy już po 2 węzłach jednak dla węzłów $[1, 9]/\{4\}$ nie jest ona zadowalająca dopiero dla > 9 metoda osiąga pożądaną dokładność.

Całkowanie przy użyciu kwadratur Gaussa okazało się bardzo skuteczne w tym przypadku. Niezależnie od wartości n wyniki osiągnęły zbieżność dla podobnej wartości.

5 Literatura

- [1] Tomasz Chwiej, Całkowanie numeryczne przy użyciu kwadratur
http://home.agh.edu.pl/~chwiej/mn/calowanie_1819.pdf
- [2] Wikipedia, Kwadratury Gaussa
https://www.wikiwand.com/pl/Kwadratury_Gaussa